

## 基于 CDDP 标记铁皮石斛抗性种质筛选与多样性研究

吴永辉, 张君毅\*, 司 灿, 林清郁

华侨大学 生物工程与技术系, 福建 厦门 361021

**摘要:** 目的 利用 CDDP 标记技术对 43 份铁皮石斛 *Dendrobium officinale* 野生和栽培种质进行初步抗性筛选和遗传多样性分析, 为铁皮石斛产业以及优良品种筛选保护提供理论基础。方法 从 21 条 CDDP 引物中筛选出产物清晰、多态性好的引物对供试材料基因组 DNA 进行扩增。结果 16 条引物共扩增出了 151 条带, 其中多态性条带 144 条, 多态性比率 95.7%, 表明供试材料具有丰富的遗传多样性。种群遗传多样性结果表明, 3 个种群多态性位点比例 (PPL) 为 65.56%~82.12%, 种群间基因分化系数 ( $G_{st}$ ) 为 0.110 2, 基因流 ( $N_m$ ) 为 4.035 4, 说明人为选择亦可能促进铁皮石斛的遗传多样性。结论 铁皮石斛人工栽培具有丰富的遗传多样性, 同时统计结果分析表明, 43 份材料中可以初步筛选出 8 份具有潜在优良抗性的植株。

**关键词:** 铁皮石斛; CDDP 标记; 遗传多样性分析; 抗性筛选; 多态性位点比例

中图分类号: R282.12 文献标志码: A 文章编号: 0253-2670(2017)22-4748-07

DOI: 10.7501/j.issn.0253-2670.2017.022.025

## Screening and diversity of resistance germplasm of *Dendrobium officinale* by CDDP markers

WU Yong-hui, ZHANG Jun-yi, SI Can, LIN Qing-yu

Department of Bioengineering & Biotechnology, Huaqiao University, Xiamen 361021, China

**Abstract: Objective** Conserved DNA-Derived Polymorphism (CDDP) markers were used in the study of the genetic diversity of 43 *Dendrobium officinale* and preliminary resistance screening, in order to provide a theoretical basis for the screening of *D. officinale* and the selection of fine varieties. **Methods** A total of 21 CDDP primers were used to amplify the genomic DNA of the test material with clear and polymorphic primers. **Results** Sixteen primers generated 151 bands, of which 144 (95.7%) were polymorphic. The results of data analysis on three population showed that the percentage of polymorphic locus (PPL) were between 65.56% and 82.12%, coefficient of genetic differentiation among natural populations ( $G_{st}$ ) was 0.110 2, and the total gene flow ( $N_m$ ) was 4.035 4. Indicating that anthropogenic factors may also promote the genetic diversity of *D. officinale*. **Conclusion** The genetic diversity of *D. officinale* was rich, and the results showed that there were eight plants with potentially good resistance among 43 materials.

**Key words:** *Dendrobium officinale* Kimura et Migo; CDDP marker; genetic diversity analysis; resistance screening; PPL

铁皮石斛 *Dendrobium officinale* Kimura et Migo 为兰科石斛属植物, 又名黑节草、云南铁皮, 以茎入药。生于海拔达 1 600 m 的山地半阴湿的岩石上<sup>[1]</sup>。《中国药典》2015 年版收载其味甘, 微寒, 具有益胃生津、滋阴清热功效。用于热病津伤、阴虚火旺、骨蒸劳热、目暗不明、筋骨痿软等<sup>[2]</sup>。现代研究表明, 铁皮石斛中含有石斛多糖、生物碱、氨基酸以及多种微量元素<sup>[3]</sup>, 具有调节免疫、抗肿瘤、抗氧化、抗衰老、调血脂、改善记忆、抗疲劳等功效<sup>[4-6]</sup>。

近年来, 因其巨大药用价值和经济价值, 过度采挖加上自然条件下铁皮石斛种子与真菌共生才能萌发, 导致野生资源濒临灭绝<sup>[7]</sup>。而人工栽培量逐年增加, 截止 2015 年全国种植面积已突破 60 公顷。但是以保护地栽培为主, 仿野生栽培受到较大限制, 主要原因是铁皮石斛对生长环境要求苛刻, 因此选育抗逆性强的优良品种十分必要。利用分子标记技术辅助选育良种是育种工作中一种常用手段, 但现阶段铁皮石斛仍停留在随机分子标记上, 不能满足

收稿日期: 2017-06-28

基金项目: 福建省引导性项目: 铁皮石斛良种选育与关键栽培新技术研究 (2015N0028); 泉州台商投资区科技计划项目

作者简介: 吴永辉 (1991—), 男, 在读硕士, 研究方向为药用植物资源开发与利用。Tel: 13290781591 E-mail: qqanqq@126.com

\*通信作者 张君毅, 副教授, 硕士生导师, 主要研究方向为药用资源开发与利用。Tel: 18759287390 E-mail: junyi@hqu.edu.cn

抗性育种需求<sup>[8-9]</sup>。

CDDP (conserved DNA-derived polymorphism) 分子标记是 Collard 和 Mackill 2009 年开发的一种目标分子标记技术<sup>[10]</sup>。它操作简单，基于单引物扩增，针对植物功能基因或基因家族中保守氨基酸序列设计引物，产生偏向候选功能标记，并且可以在不同物种间通用，PCR 产物用琼脂糖凝胶即可实现分离，多态性好，成本低。与随机分子标记相比，CDDP 标记能有效产生和目标性状连锁的功能性分子标记，在分子标记辅助育种和遗传多样性分析中有重要的应用价值<sup>[11]</sup>。本实验利用 CDDP 标记，采用 Collard 和 Mackil 针对转录因子 WRKY<sup>[12]</sup>、生物与非生物因素胁迫应答相关基因 MYB<sup>[13]</sup>和在逆境胁迫中起调控作用 ERF 转录因子<sup>[14]</sup>等设计的 21 条引物，建立铁皮石斛 CDDP 标记技术体系，对来源于野生和栽培的种质资源进行抗性筛选，并研究分析其遗传多样性和亲缘关系，以期为铁皮石斛抗性育种提供参考依据。

## 1 材料与方法

### 1.1 材料

材料为采集于福建泰宁和邵武的 28 份铁皮石斛栽培种质（编号 1~28）及 15 份（编号 29~43）来自泰宁崖壁的野生种质，经华侨大学张君毅副教授鉴定为铁皮石斛 *Dendrobium officinale* Kimura et Migo。

### 1.2 总 DNA 提取

参考 CTAB 法<sup>[15]</sup>提取基因组 DNA，做相应改进。取 0.3 g 叶片，加少许聚乙烯吡咯烷酮，液氮研磨至粉末后转移至 2 mL 离心管；加 800 μL 4 °C 预冷 CTAB 缓冲液及 30 μL β-巯基乙醇，震荡混匀后冰浴 20 min；4 °C 下 12 000 r/min 离心 5 min，弃上清；加等体积 65 °C 预热 3×CTAB 缓冲液和 30 μL β-巯基乙醇，颠倒混匀，65 °C 水浴 1 h，并不时轻微震荡；加 500 μL 氯仿-异戊醇（24:1），颠倒混匀 5 min，4 °C、12 000 r/min 离心 10 min，转移上清液至新离心管，此步重复 3 次；加 0.1 倍体积 3 mol/L NaAc 和 2 倍体积预冷无水乙醇，-20 °C 静置 30 min；4 °C、12 000 r/min 离心 15 min；70% 乙醇清洗 DNA 沉淀 2 次，室温干燥 30 min，加 50 μL TE 溶解 DNA；1% 琼脂糖凝胶检测 DNA 完整性；-20 °C 保存。

### 1.3 CDDP-PCR 反应体系建立

随机选取 3 份样品 DNA，对反应体系设计 5 因素（模板、引物、聚合酶、dNTPs、Mg<sup>2+</sup>）4 水

平（表 1），并进行 L<sub>16</sub>(4)<sup>5</sup> 正交试验（表 2），然后进行梯度退火及单因素优化实验，最后进行体系验证，引物为 5'-TGGCGSAAGTACGGCCAG-3'，由 Invitrogen 公司合成。PCR 程序为 94 °C 预变性 5 min，94 °C 变性 30 s，55.7 °C 退火 30 s，72 °C 延伸 1.5 min，35 个循环，72 °C 延伸 10 min，然后 4 °C 保存。

表 1 CDDP-PCR 反应体系因素水平

Table 1 CDDP-PCR factors-levels

水平	因素				
	模板/ng	Mg <sup>2+</sup> /(mmol·L <sup>-1</sup> )	dNTPs/(mmol·L <sup>-1</sup> )	聚合酶/U	引物/(μmol·L <sup>-1</sup> )
1	20	1.0	0.10	0.5	0.3
2	30	1.5	0.15	1.0	0.4
3	40	2.0	0.20	1.5	0.5
4	50	2.5	0.25	2.0	0.6

表 2 CDDP-PCR 正交试验设计

Table 2 CDDP-PCR orthogonal design

处理	因素				
	模板/ng	Mg <sup>2+</sup> /(mmol·L <sup>-1</sup> )	dNTPs/(mmol·L <sup>-1</sup> )	聚合酶/U	引物/(μmol·L <sup>-1</sup> )
1	20	1.0	0.10	0.5	0.3
2	20	1.5	0.15	1.0	0.4
3	20	2.0	0.20	1.5	0.5
4	20	2.5	0.25	2.0	0.6
5	30	1.0	0.15	1.5	0.6
6	30	1.5	0.10	2.0	0.5
7	30	2.0	0.25	0.5	0.4
8	30	2.5	0.20	1.0	0.3
9	40	1.0	0.20	2.0	0.4
10	40	1.5	0.25	1.5	0.3
11	40	2.0	0.10	1.0	0.6
12	40	2.5	0.15	0.5	0.5
13	50	1.0	0.25	1.0	0.5
14	50	1.5	0.20	0.5	0.6
15	50	2.0	0.15	2.0	0.3
16	50	2.5	0.10	1.5	0.4

### 1.4 产物检测

扩增产物用 TBE 配制 1% 琼脂糖凝胶（含 0.05% Gold View）进行电泳分离，电压 120 V，凝胶成像系统拍照记录。

### 1.5 数据处理

同一引物扩增的所有模板，同一位置有条带的认定为具有同源性，在同一迁移位置，有条带记“1”，没有记“0”，在 Excel 中建立数据矩阵。

用 Popgene 32 软件进行遗传参数分析, 分别计算多态位点百分率 (PPL)、观测等位基因数 ( $N_a$ )、有效等位基因数 ( $N_e$ )、Nei's 基因多样性指数 ( $H$ )、Shannon's 信息指数 ( $I$ )、群体总遗传多样性 ( $H_t$ )、群内基因多样性 ( $H_s$ )、居群间遗传分化系数 ( $G_{st}$ ) 和居群间基因流 ( $N_m$ ) 等, 用 NTSYS2.1 软件, 类平均法 (UPGMA) 进行聚类分析和主坐标分析<sup>[16]</sup>。

### 1.6 抗性种质筛选

对引物类型中 WRKY 类、MYB 类和 ERF 类扩增条带进行统计, 并分别计算出各类型条带数平均

值, 大于平均值的个体则认为具有潜在优良抗性, 最后利用在线工具 (<http://bioinformatics.psb.ugent.be/webtools/Venn/>) 绘制韦恩图, 找出上述 3 类引物共同筛选出的潜在优良抗性种质。

## 2 结果与分析

### 2.1 CDDP 反应体系建立及引物筛选

不同因素水平组合的 CDDP-PCR 体系扩增结果各不相同, 从图 1 可以看出 3、4、7、9、10 号组合均有相对清晰条带, 其中 7、10 号较理想, 2 号组合没有条带, 5、6 号条带较弱, 8、11~16 号条带清晰度稍弱。

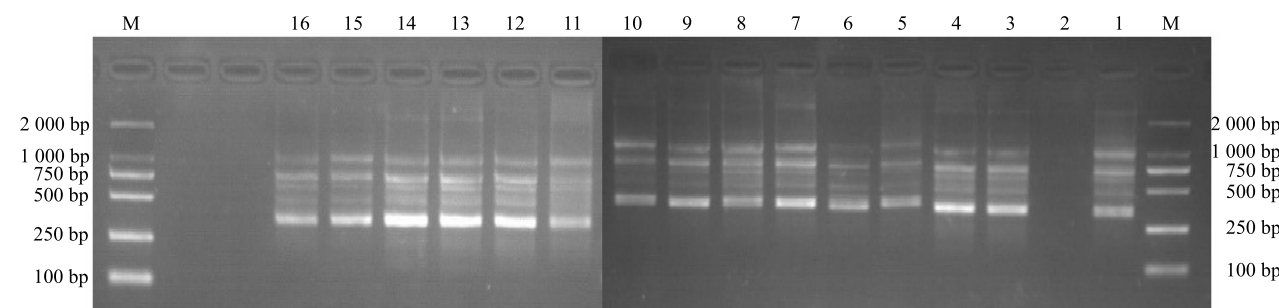


图 1 CDDP 正交设计体系的扩增结果

Fig. 1 CDDP system with orthogonal design

综合梯度退火实验及单因素优化实验 (部分实验见图 2、3), 最终确定 20 μL 体系, 其中, DNA 模板 30 ng、引物 0.5 μmol/L、聚合酶 1.5 U、dNTPs 0.2 mmol/L、Mg<sup>2+</sup> 2.75 mmol/L, 并进行体系验证(图 4)。应用优化体系, 以样品 DNA 为模板, 对 Collard 和 Mackill<sup>[12]</sup>发表的 21 条引物进行筛选, 选择多态性好, 条带清晰可辨的引物 16 条 (表 3), 利用 16 条引物对 43 份样本进行扩增。

### 2.2 CDDP 标记多态性分析

利用筛选的 16 条引物对 43 份铁皮石斛进行扩增, 共扩增出 151 条带, 每条引物平均扩增 9.43 条, 其中多态性条带 144 条, 占总条带 95.3%, 说

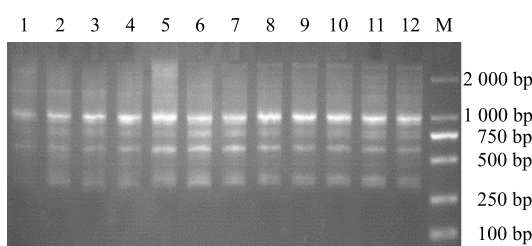
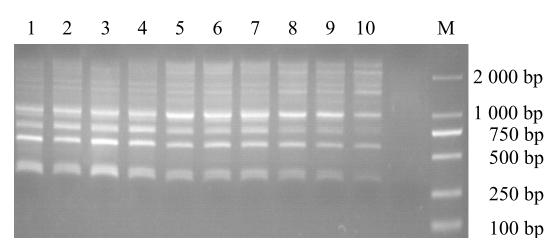


图 2 梯度退火实验

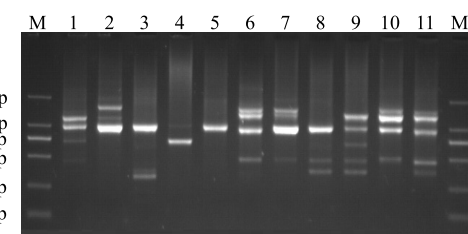
Fig. 2 Gradient annealing experiment



1—10-3.50、3.25、3.00、2.75、2.50、2.25、2.00、1.75、1.50、1.00 mmol·L<sup>-1</sup>  
Mg<sup>2+</sup> M-Marker

图 3 Mg<sup>2+</sup> 单因素实验

Fig. 3 Mg<sup>2+</sup> single factor experiment



1—11-材料中编号 26、21、20、19、18、17、16、15、14、13、12 的样品 M-marker

1—11-sample 26、21、20、19、18、17、16、15、14、13、12 M-marker

图 4 体系验证 CDDPWRKY-F1 引物扩增实验

Fig. 4 System validation in CDDPWRKY-F1 Primer amplification experiments

表3 引物序列及扩增结果  
Table 3 Primer sequence and amplification results

名称	序列(5'-3')	条带数/条	多态性条带	PPL/%
WRKY-F1	TGGCGSAAGTACGGCCAG	8	8	100.00
WRKY-R1	GTGGTTGTGCTTGCC	9	8	88.89
WRKY-R3	GCASGTGTGCTCGCC	9	8	88.89
WRKY-R2B	TGSTGSATGCTCCCG	9	9	100.00
WRKY-R3B	CCGCTCGTGTGSACG	9	8	88.89
Myb1	GGCAAGGGCTGCCGC	12	12	100.00
ERF1	CACTACCGCGGSCTSCG	7	7	100.00
ERF2	GCSGAGATCCGSGACCC	9	9	100.00
KNOX-1	AAGGGSAAGCTSCCSAAG	11	10	90.91
KNOX-2	CACTGGTGGGAGCTSCAC	7	5	71.43
KNOX-3	AAGCGSCACTGGAAGGCC	11	11	100.00
MADS-1	ATGGGCCGSGGCAAGGTGC	12	12	100.00
MADS-2	ATGGGCCGSGGCAAGGTGG	10	10	100.00
MADS-4	CTSTGCGACCGSGAGGTG	10	9	90.00
ABP1-1	ACSCCSATCCACCGC	11	11	100.00
ABP1-3	CACGAGGACCTSCAGG	7	7	100.00
总计		151	144	95.30
平均		9.43	—	—

明 CDDP 标记应用于铁皮石斛遗传多样性分析表现出较好的多态性。不同引物扩增结果不同, 引物 ERF1、KNOX-2 和 ABP1-3 扩增条带最少为 7 条, 引物 Myb1 和 MADS-1 最多为 12 条, 引物 KNOX-2 扩增结果 PPL 最低为 71.43%, 10 条引物 WRKY-F1、WRKY-R2B、Myb1、ERF1、ERF2、KNOX-3、MADS-1、MADS-2、ABP1-1、ABP1-3 的 PPL 均达 100% (表 3)。

### 2.3 铁皮石斛遗传多样性分析

按来源不同将 43 份样本分为 3 个居群, 其中样本编号 1~17 为邵武栽培品种 1 号居群, 编号 18~28 为泰宁栽培品种 2 号居群, 编号 29~43 的为泰宁崖壁野生品种 3 号居群。居群遗传多样性分析结果表明, 居群 PPL 为 65.56%~82.12%, 平均为 74.61%, 最高的为邵武品种 (82.12%), 最低的是野生品种 (65.56%)。居群  $H$  在 0.169 6~0.228 3, 平均 0.199, 最高的是邵武品种 (0.228 3)、最低的是野生品种 (0.169 6)。 $I$  为 0.268 2~0.354 3, 平均 0.312 8, 居群  $H$  与居群 PPL 大小趋势一致 (表 4)。群体  $H_t$  为 0.224, 群内  $H_s$  为 0.199 3, 居群间  $G_{st}$  为 0.110 2, 表明居群间遗传分化水平较低, 居群间  $N_m$

表4 遗传多样性

Table 4 Analysis of genetic diversity

居群	$N_a$	$N_c$	$H$	$I$	PPL/%
1	1.821 2	1.372 9	0.228 3	0.354 3	82.12
2	1.761 6	1.317 5	0.199 8	0.315 9	76.16
3	1.655 6	1.269 0	0.169 6	0.268 2	65.56

为 4.035 4, 表明居群间有较高的基因交流, 遗传变异主要存在于居群内。

### 2.4 聚类分析

基于遗传一致度, 用 NTSYS-pc2.10 采用 UPGMA 法, 构建 43 份铁皮石斛图谱 (图 5)。由图 5 可以看出, 43 份样本遗传相似性系数在 0.64~0.95, 遗传距离跨度较大, 说明供试样本遗传背景具有丰富的多样性。在相似系数 0.656 位置可以将 43 份样本分为 2 大类, 第 1 类主要为泰宁栽培种和野生种, 第 2 类主要是邵武栽培种。其中第 2 类邵武的栽培品种相似性系数跨度较大, 为 0.64~0.95, 说明邵武栽培品种质资源出现了较大的遗传分化, 可能与其品种来源广泛, 不同品种混植以及仿野生栽培有关。第 1 类在相似性系数为 0.672 位置, 可以为 2 个亚类, 第 1 个亚类主要为泰宁栽培种, 部分

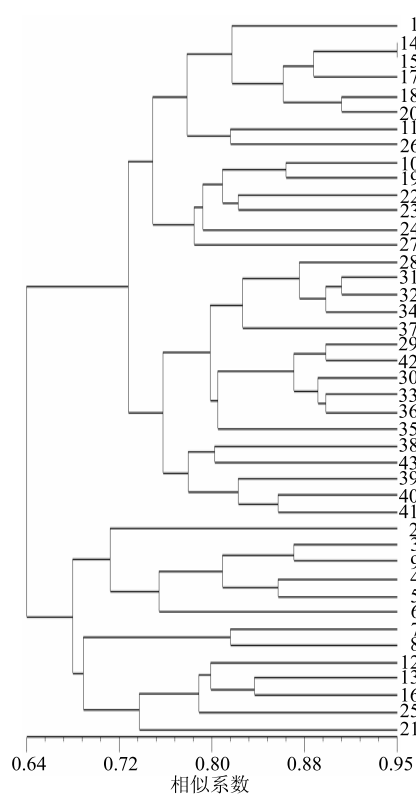


图 5 基于 CDDP 标记的铁皮石斛聚类分析

**Fig. 5 Cluster analysis of *Dendrobium candidum* based on CDDP Marker**

邵武栽培品种与其有重叠, 第 2 个亚类除 28 号外均为野生品种。

## 2.5 主坐标分析

主坐标可将 43 份样本分 2 个主体域和一个附属域(图 6), A 域中除 28 号外均为野生种质, 与聚类图中第二亚类一致, B 域主要为邵武栽培品种, 与聚类图不同的是, 主坐标中邵武和泰宁栽培品种重叠度更大, 同时部分变异较大的样本远离主体域形成附属域 B1。在聚类图和主坐标分布中, 野生品种均较好地聚在一起, 说明其遗传信息传递的保守性, 而邵武和泰宁的栽培品种则差异较大并重叠分布, 可能人为选择加快了铁皮石斛品种的遗传变异。

## 2.6 抗性种质初步筛选

对与抗性相关的 WRKY 类、MYB 类、ERF 类引物扩增结果进行条带统计, 其中 WRKY 类引物共扩增出清晰条带 521 条, 平均每个植株 12.1 条, 筛选出大于平均值的植株有 17 个, 再分别对其他二类引物扩增结果进行计算, 绘制韦恩图(图 7 和表 5), 最终与抗性相关的 3 类引物共同筛选出的优良种质为 8 个, 分别为 26、10、22、23、13、3、9、

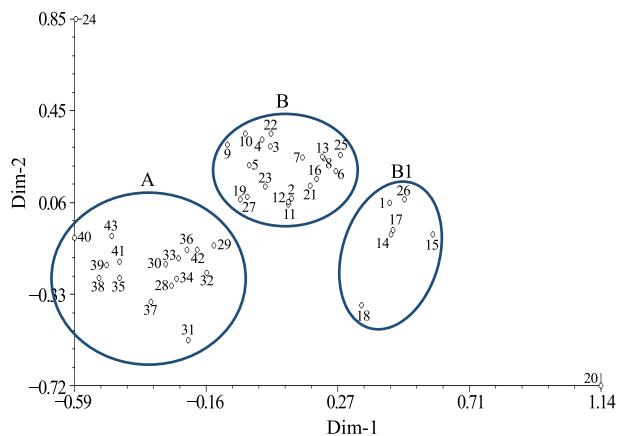


图 6 主坐标分析

**Fig. 6 Principal coordinate analysis**

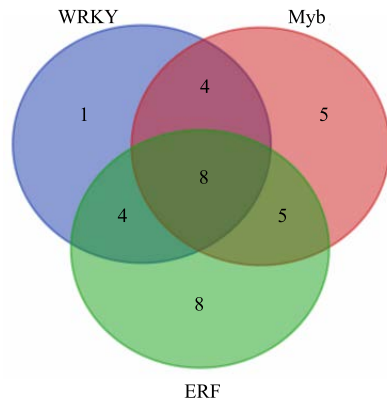


图 7 筛选潜在抗性材料

**Fig. 7 Screening of potential resistant materials**

## 表 5 筛选集合

Table 5 Filter collection

集合名称	共有带数	元素
ERF Myb WRKY	8	26、10、22、23、13、3、9、41
Myb WRKY	4	30、28、31、43
ERF WRKY	4	2、40、4、5
ERF Myb	5	7、20、6、39、38
WRKY	1	42
Myb	5	33、21、29、12、34
ERF	8	17、18、14、24、11、36、15、8

41 号种质, 初步认定该 8 株植株潜在具有比其他植株优良的抗性。

## 3 讨论

### 3.1 CDDP 标记与抗性育种

CDDP 是基于单引物扩增的一种目标分子标记技术, 相对于 ISSR、SSR、SRAP 等随机分子标记技术, 其标记的是目的基因的一部分或与目的基因

紧密连锁，在良种选育上更具有优势。植物抗逆性状受诸多基因控制，如耐高温、耐低温、抗病虫害等性状的强弱往往不取决于单一因子，其中转录因子可以通过调控一系列与逆境相关的功能基因的表达，从而提高植物对逆境的抵抗力。CDDP 标记的引物正是基于转录因子开发而来。

其中 WRKY、MYB、ERF 类是目前研究较多的与植物抗逆相关的转录因子。Qiu 等<sup>[17]</sup>研究发现 WRKY45 过表达可增强拟南芥抗病性和耐旱性，在烟草中 WRKY 基因参与烟草花叶病毒的防御反应<sup>[18]</sup>，Zheng 等<sup>[19]</sup>研究发现 WRKY25 转录因子过表达增强抵抗病原菌的能力，Zhou 等<sup>[20]</sup>通过转基因过表达 WRKY21 发现可增强植株抗冷害能力。此外，众多研究表明 MYB 转录因子<sup>[21-24]</sup>和 ERF 转录因子<sup>[25-28]</sup>也参与植物抗病虫害、耐旱、耐寒等非生物胁迫过程的响应。利用基于 WRKY、MYB、ERF 等转录因子开发的 CDDP 锚定引物，通过扩增条带间接筛选潜在抗性植株，可作为一种有效的辅助选育抗逆品种的快捷方法。本研究利用 CDDP 标记筛选得到 8 份具有潜在抗性的铁皮石斛优良种质，为后续品种的选育奠定了基础，能够大大提高分子辅助选育新品种的效率，同时也节省了人力和时间成本。

### 3.2 铁皮石斛的遗传多样性

遗传多样性反映的是物种进化和适应环境的能力，也是资源保护和利用的重要参考依据。研究铁皮石斛遗传多样性对铁皮石斛引种改良、种质鉴定、资源保护等具有重要意义。近年来，包英华等<sup>[29]</sup>用 SRAP 技术对 8 个居群铁皮石斛进行多样性分析，其多态性百分率为 96.46%，而在铁皮石斛 ISSR 标记分析中，其多态性比率分别达 91.7%<sup>[8]</sup>、94.4%<sup>[9]</sup>、100%<sup>[30]</sup>，表明铁皮石斛具有丰富的遗传多样性。本研究通过对铁皮石斛种质资源进行 CDDP 标记研究，共扩增出 151 个位点，其中多态性位点 144 个，多态性比率达 95.3%，该结果与前人研究结果比较一致，说明 CDDP 分子标记可以应用于铁皮石斛种质资源分析，同时表明供试材料具有较高的遗传多样性，遗传资源较为丰富，应该加强对供试材料研究和利用。

本研究中，人工栽培品种遗传多样性要高于野生品种，分析原因可能是野生铁皮石斛采集相对集中，样本量少，而取样数量会影响植物遗传多样性的评价；同时栽培品种  $N_m$  达到 4.035 4，说明其具有较强的基因流，形成了较高的遗传多样性。究其原因，近

年来铁皮石斛资源人工驯化栽培成功后，由于较高的经济价值和药用价值，栽种者交流频繁，相互引种，造成资源融合，促进了栽培品种的遗传多样性。另外，邵武和泰宁的材料聚类相互重叠，这与相似的生长环境、种养模式和种源混杂不无关系。

### 参考文献

- [1] 中国科学院中国植物志科学编辑委员会. 中国植物志(第十九卷) [M]. 北京: 科学出版社, 1999.
- [2] 中国药典. [S]. 一部. 2015.
- [3] 相萍萍, 王 旭, 刘 超. 铁皮石斛的最新应用研究 [J]. 西部中医药, 2016, 29(1): 129-132.
- [4] 梁楚燕, 梁颖敏, 赵雪洁, 等. 铁皮石斛改善记忆能力及延缓衰老的初步研究 [J]. 暨南大学学报: 自然科学与医学版, 2016, 37(2): 99-104.
- [5] 覃辉艳, 梁慧莉, 姚思宇, 等. 铁皮石斛颗粒增强免疫力作用的实验研究 [J]. 应用预防医学, 2016, 22(1): 81-83.
- [6] 郭 婕, 颜 燕, 姚文环, 等. 铁皮石斛茶缓解小鼠体力疲劳作用的研究 [J]. 海峡药学, 2015, 27(2): 19-21.
- [7] 斯金平, 俞巧仙, 宋仙水, 等. 铁皮石斛人工栽培模式 [J]. 中国中药杂志, 2013, 38(4): 481-484.
- [8] 江金兰, 叶 炜, 李永清, 等. 福建泰宁野生铁皮石斛 ISSR 亲缘关系分析 [J]. 浙江农业科学, 2016, 57(2): 208-210.
- [9] 李永清, 叶 炜, 江金兰, 等. 铁皮石斛种质亲缘关系的 ISSR 分析 [J]. 西南农业学报, 2015, 28(4): 1530-1534.
- [10] Collard B C Y, Mackill D J. Conserved DNA-derived polymorphism (CDDP): A simple and novel method for generating DNA markers in plants [J]. *Plant Mol Biol Report*, 2009, 27(4): 558-562.
- [11] 熊发前, 蒋 菁, 钟瑞春, 等. 两种新型目标分子标记技术——CDDP 与 PAAP [J]. 植物生理学通讯, 2010, 46(9): 871-875.
- [12] Agarwal P, Reddy M P, Chikara J. WRKY: its structure, evolutionary relationship, DNA-binding selectivity, role in stress tolerance and development of plants [J]. *Mol Biol Reports*, 2011, 38(6): 3883-3896.
- [13] 左 然, 徐美玲, 柴国华, 等. 植物 MYB 转录因子功能及调控机制研究进展 [J]. 生命科学, 2012, 24(10): 1133-1140.
- [14] 莫纪波, 李大勇, 张慧娟, 等. ERF 转录因子在植物对生物和非生物胁迫反应中的作用 [J]. 植物生理学报, 2011, 47(12): 1145-1154.
- [15] 尹明华, 徐志坚, 黄 珂, 等. 江西山药种质资源遗传多样性及其组培苗遗传稳定性的 RAPD 检测 [J]. 中草药, 2016, 47(19): 3486-3493.

- [16] 张君毅. 半夏遗传结构和多样性 RAPD 标记分析 [J]. 中国农学通报, 2010, 26(18): 43-47.
- [17] Qiu Y, Yu D. Over-expression of the stress-induced OsWRKY45 enhances disease resistance and drought tolerance in *Arabidopsis* [J]. *Enviro Exper Bot*, 2009, 65(1): 35-47.
- [18] Naoumkina M A, He X, Dixon R A. Elicitor-induced transcription factors for metabolic reprogramming of secondary metabolism in *Medicago truncatula* [J]. *BMC Plant Biol*, 2008, 8: 132-137.
- [19] Zheng Z, Mosher S L, Fan B, et al. Functional analysis of *Arabidopsis* WRKY25 transcription factor in plant defense against *Pseudomonas syringae* [J]. *BMC Plant Biol*, 2007, 7(1): 2-10.
- [20] Zhou Q, Tian A, Zou H, et al. Soybean WRKY-type transcription factor genes, GmWRKY13, GmWRKY21, and GmWRKY54, confer differential tolerance to abiotic stresses in transgenic *Arabidopsis* plants [J]. *Plant Biotechnol J*, 2008, 6(5): 486-503.
- [21] Ramirez V, Agorio A, Coego A, et al. MYB46 modulates disease susceptibility to *Botrytis cinerea* in *Arabidopsis* [J]. *Plant Physiol*, 2011, 155(4): 1920-1935.
- [22] Cominelli E, Sala T, Calvi D, et al. Over-expression of the *Arabidopsis* AtMYB41 gene alters cell expansion and leaf surface permeability [J]. *Plant J*, 2008, 53(1): 53-64.
- [23] De Vos M, Denekamp M, Dicke M, et al. The *arabidopsis thaliana* transcription factor AtMYB102 functions in defense against the insect herbivore *pieris rapae* [J]. *Plant Signal Behav*, 2006, 1(6): 305-311.
- [24] Liao Y, Zou H F, Wang H W, et al. Soybean GmMYB76, GmMYB92, and GmMYB177 genes confer stress tolerance in transgenic *Arabidopsis* plants [J]. *Cell Res*, 2008, 18(10): 1047-1060.
- [25] Zhang Z, Huang R. Enhanced tolerance to freezing in tobacco and tomato overexpressing transcription factor TERF2/LeERF2 is modulated by ethylene biosynthesis [J]. *Plant Mol Biol*, 2010, 73(3): 241-249.
- [26] Zhang H, Huang Z, Xie B, et al. The ethylene-, jasmonate-, abscisic acid-and NaCl-responsive tomato transcription factor JERF1 modulates expression of GCC box-containing genes and salt tolerance in tobacco [J]. *Planta*, 2004, 220(2): 262-270.
- [27] Wu L, Zhang Z, Zhang H, et al. Transcriptional modulation of ethylene response factor protein JERF3 in the oxidative stress response enhances tolerance of tobacco seedlings to salt, drought, and freezing [J]. *Plant Physiol*, 2008, 148(4): 1953-1963.
- [28] Zhang G, Chen M, Li L, et al. Overexpression of the soybean GmERF3 gene, an AP2/ERF type transcription factor for increased tolerances to salt, drought, and diseases in transgenic tobacco [J]. *J Experim Bot*, 2009, 60(13): 3781-3796.
- [29] 包英华, 潘超美, 白 音, 等. 铁皮石斛种质资源遗传多样性的 SRAP 分析 [J]. 北京中医药大学学报, 2014, 37(5): 349-353.
- [30] 江金兰, 叶 炜, 李永清, 等. 福建泰宁野生铁皮石斛种群的 ISSR 亲缘关系分析 [J]. 热带亚热带植物学报, 2016, 24(3): 259-266.